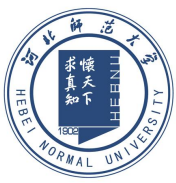
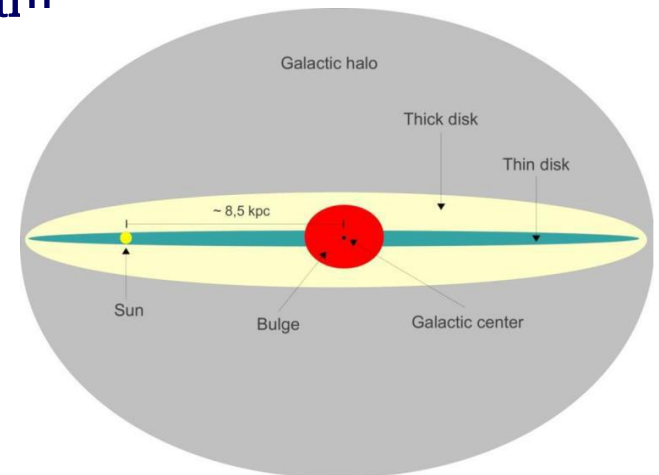


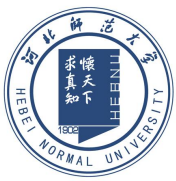
第五章 旋涡星系和透镜星系



Review of Basic Components

- Disks :
 - Metal **rich** stars and ISM
 - Nearly **circular** orbits with little ($\sim 5\%$) random motion
 - Both **thin** and **thick** components
- Bulge :
 - Metal **poor** to **super-rich** stars
 - **High** stellar densities with steep profile
 - $V_{\text{rot}}/\sigma \sim 1$, so **dispersion** support important
- Bar :
 - **Flat**, linear distribution of stars
 - Associated **rings** and **spiral pattern**





Review of Basic Components

➤ Stellar Halo :

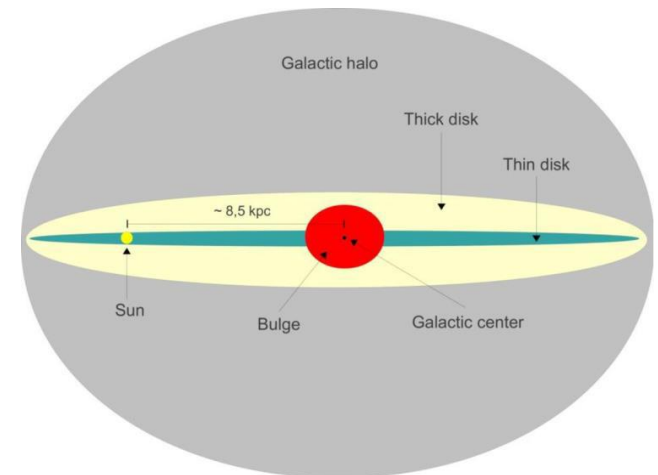
- **Very low** SB; ~few % total light; **little/no** rotation
- Metal **poor** stars; GCs, dwarfs; low-density **hot gas**

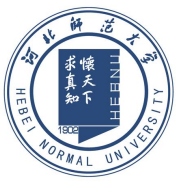
➤ Nucleus :

- Central (< 10pc) region of **very high** density ($\sim 10^6 \text{Mpc}^{-3}$)
- Dense ISM &/or starburst &/or star cluster
- Massive **black hole**

➤ Dark Halo :

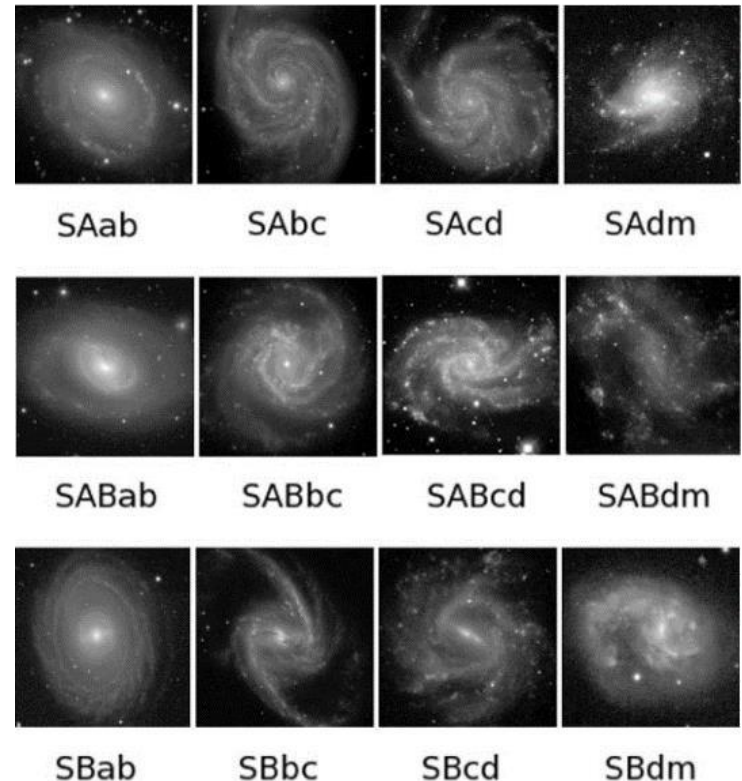
- **Dark matter**

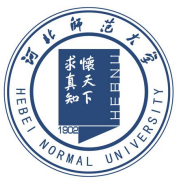




Spiral Galaxies are Complex Systems

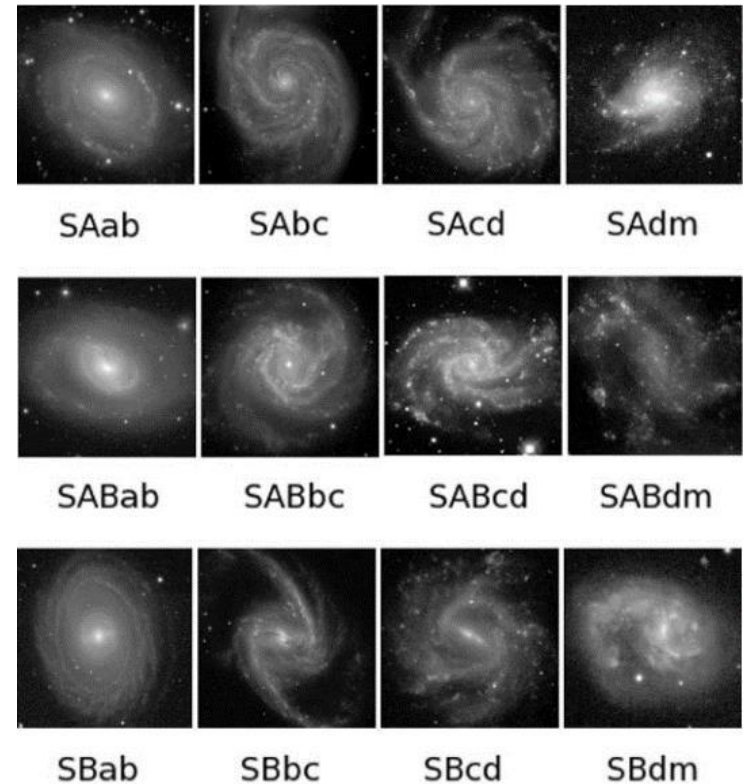
- Wide range in **morphological** appearance:
 - classification bins : simple E0-7 compared with **all** the spiral types
 - not just smooth, considerable **fine-scale** details
- Wide range in **stellar populations**:
 - old, intermediate, young and currently forming
 - **Ongoing** chemical enrichment

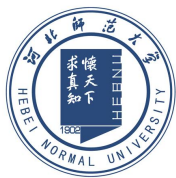




Spiral Galaxies are Complex Systems

- Wide range in **stellar dynamics**:
 - "**cold**" rotationally supported **disk** stars
 - "**hot**" mainly dispersion supported **bulge** and **halo** stars
- Significant **cold** ISM:
 - influences dynamical evolution (e.g. helps **spiral** formation)
 - influences stellar **density** distribution (e.g. creates dense cores & black holes)





主要内容

5.1 星光分布：盘内的恒星成分

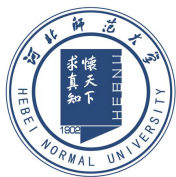
5.2 观测气体：气体成分与恒星关系

5.3 气体运动：转动曲线和TF关系

5.4 盘星系序列：星系的其他性质

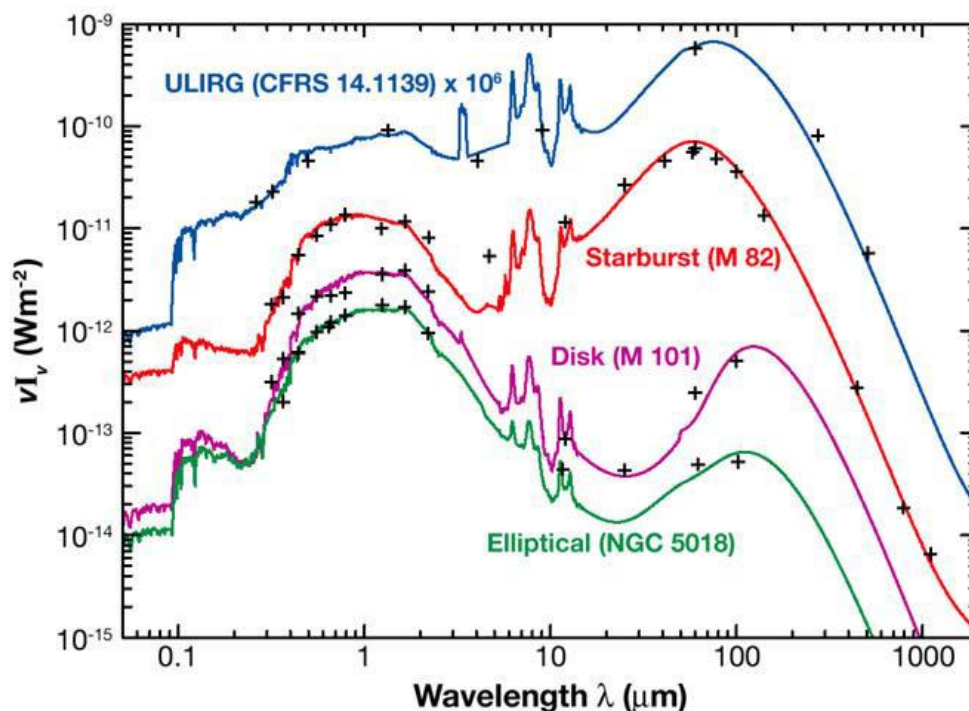
5.5 旋臂和星系棒：困难的课题

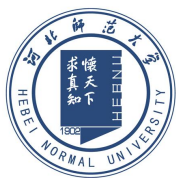
5.6 核球和中心：与其他部分联系



5.1 星光分布

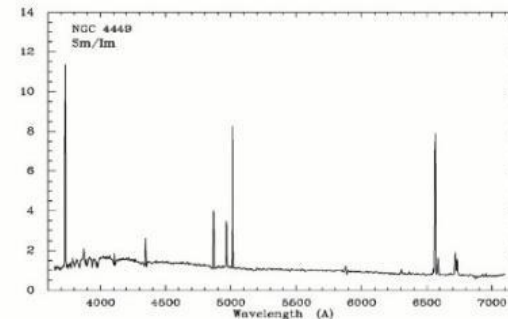
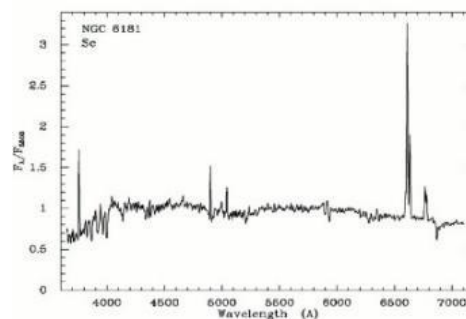
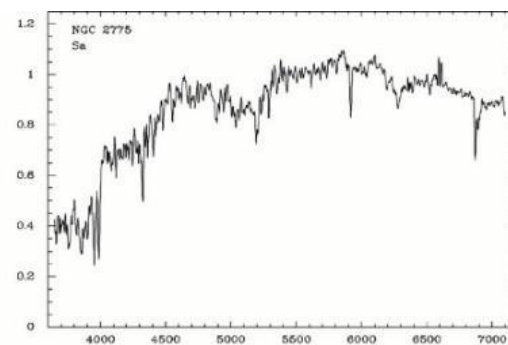
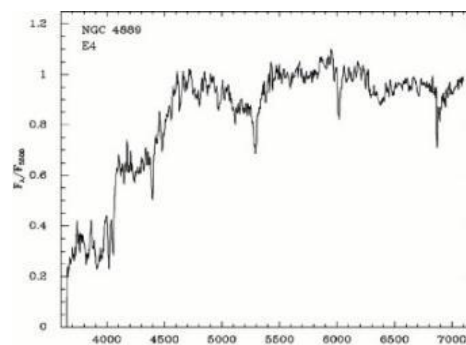
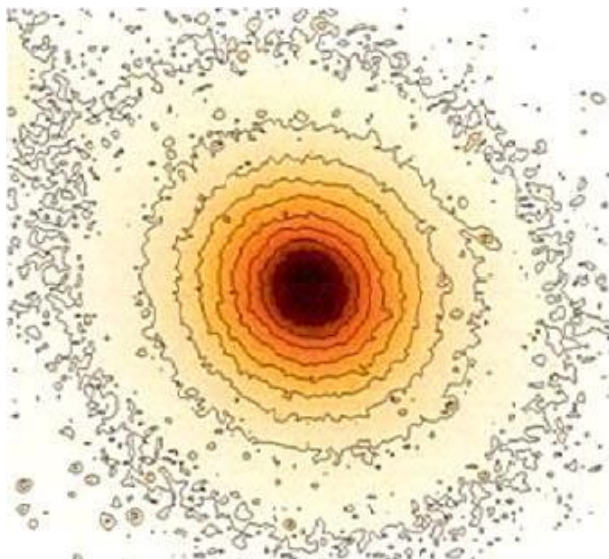
- 盘星系的恒星辐射：主要在能谱的**近红外区**
 - K型巨星等**老年恒星**辐射，大部分波长接近1mm
 - 年轻恒星光会被周围**尘埃**吸收，**红外**波段再辐射
 - 在**可见光**波段的辐射稍弱
 - 在**紫外**波段的辐射不重要

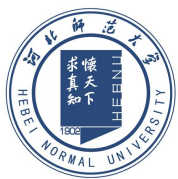




5.1 星光分布

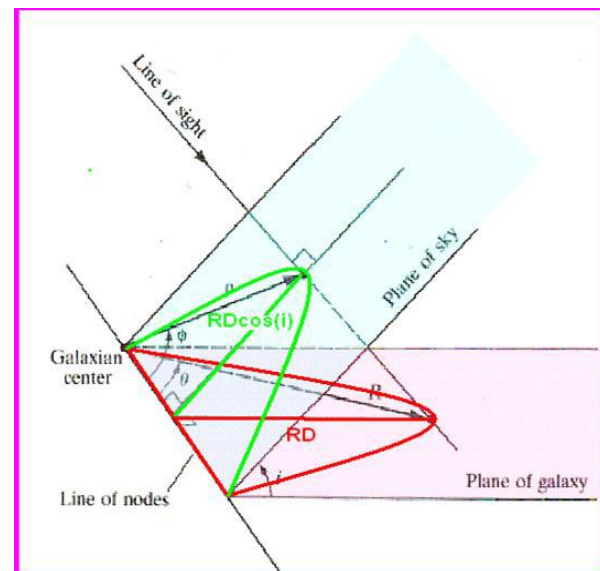
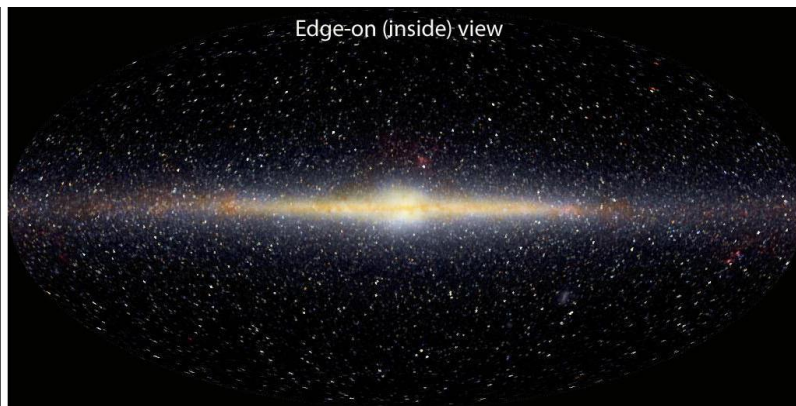
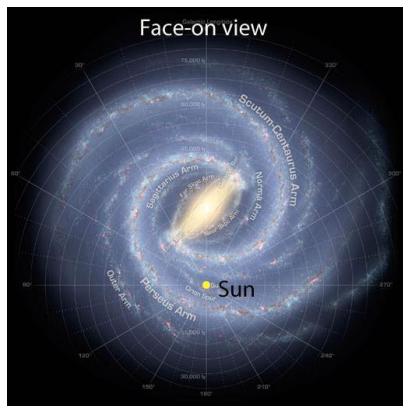
➤ 研究方法：图像和光谱观测、分析

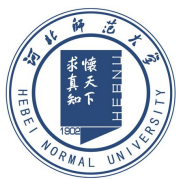




5.1.1 盘星系的面源测光

- 等照度线：即星系的等面亮度线。
 - 等照度线在星系核球区相当圆；在盘内区变为椭圆；外部因受到旋臂等影响，变得参差不齐
- 假设盘是圆的（恒星类圆轨道运动）并且很薄，离开面向（face-on, $i = 0$ ），以角度 i 看它时，显示为一个轴比为 $q = b/a = \cos i$ 的椭圆
- 倾角 i 时，半径为 RD 圆盘在天球上投影是椭圆
- 半长轴： $a = RD$
- 半短轴： $b = RD \cos(i)$





倾斜角

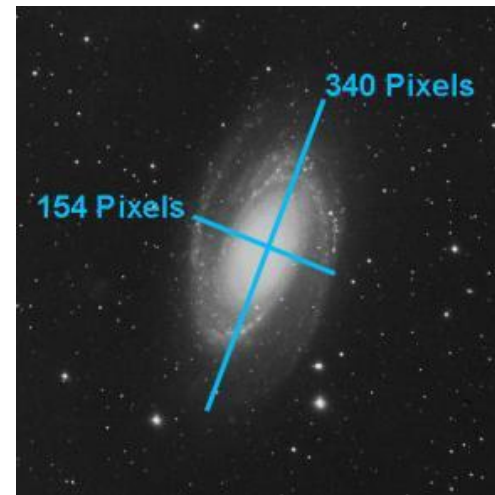
➤ 倾斜角测量 (假定盘的厚度为零)

- 测量星系盘半长轴、半短轴
- 倾斜角 $i = \cos^{-1}(q) = \cos^{-1}(b/a)$
- M81 (NGC3031) 的 $i = 63^\circ$

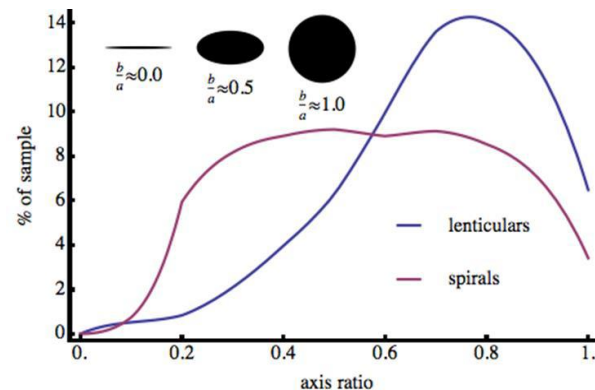
➤ 倾斜角测量 (盘的厚度不为零)

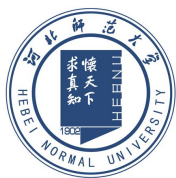
- 假定盘为三轴椭球 ($a:b:c$)
- $q_0 = c/a$ (Sc星系有 $q_0 = 0.13$)

$$\cos i = \sqrt{\frac{(b/a)^2 - q_0^2}{1 - q_0^2}}$$



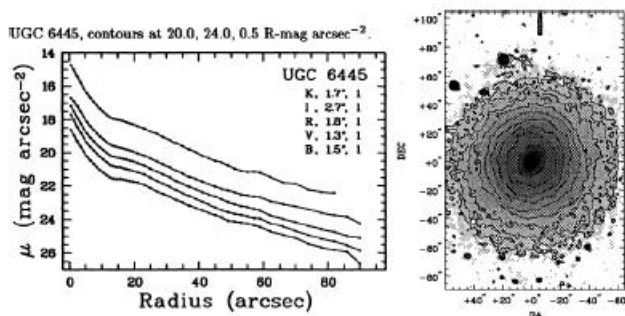
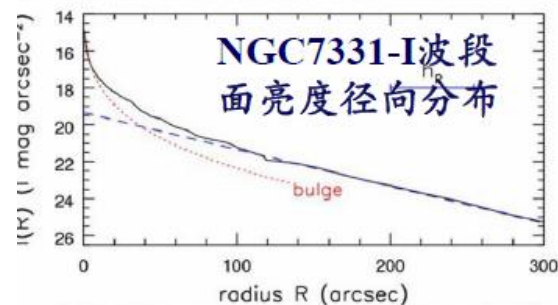
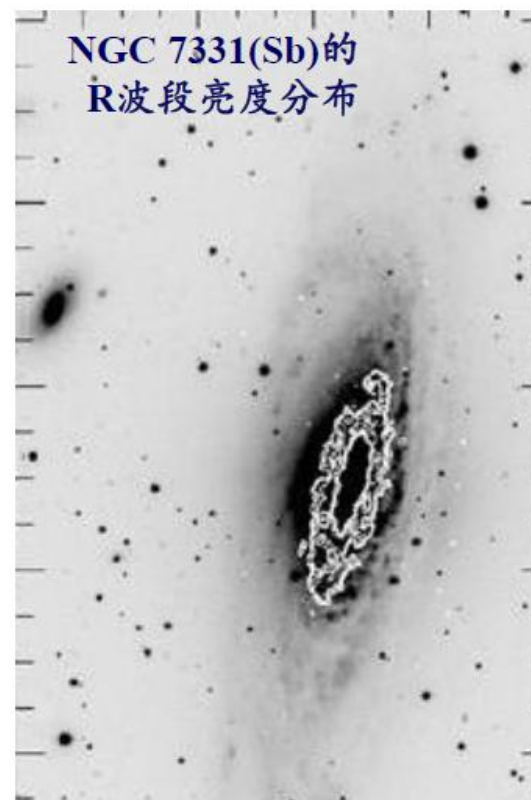
- ◆ 5000个S0星系视轴比分布: $q=b/a$ 的峰值 ~ 0.7 , 真轴比 $q_0 \sim 0.25 - 0.85$ 之间均匀分布
- ◆ 13000个旋涡星系视轴比分布: $q \sim 0.3 - 1.0$ 之间均匀分布; 真轴比 q_0 小 (旋涡星系很薄 $c \ll a$)

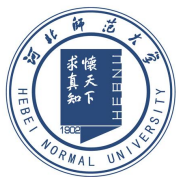




盘星系面亮度

- 河外星系是面光源，测量星系面亮度，研究其**面亮度**的变化规律
- 面亮度：每平方角秒的流量，表示为视星等。单位：星等/角秒²。NGC7331中心 $I_1(0) = 15 \text{ mag arcsec}^{-2}$
- 面亮度随径向分布无明显截断；星系大小定义为 $I(B) = 25 \text{ mag arcsec}^{-2}$ 处半径, R_{25} (NGC7331: $R_{25} = 315''$)
- 如果盘内吸收尘埃可忽略，面亮度要比从正向看盘时亮 $1/\cos i$ 倍
- 盘星系面亮度径向分布：**核球**和**盘**部分亮度分解



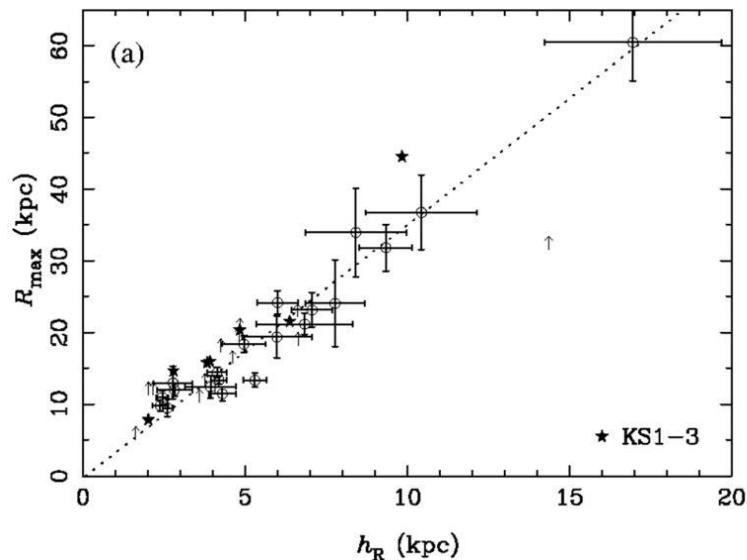
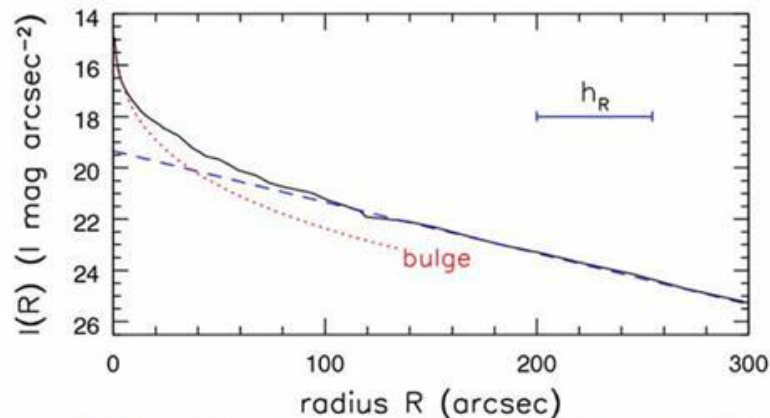


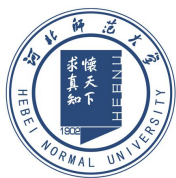
面亮度径向分布——星系盘

- **星系盘**：当对旋臂之类的特征作平均后，面亮度 $I(R)$ 近似遵循**指数**形式。

$$I(R) = I(0) \exp(-R/h_R)$$

- h_R 称为盘的标长， $I(h_R) = 1/e I(0)$
- 一般有 $h_R \sim 0.25R_{25} \sim 1 - 10\text{kpc}$
- R_{max} ：恒星盘指数部分**终止**处半径。
 $R_{\text{max}} \sim 10 - 30\text{kpc} \sim (3 - 5)h_R$
- $h_R > R_e$ (R_e 有效半径；e.g. MW: $h_R \sim 5\text{kpc}$, $R_e \sim 2.7\text{kpc}$)
- 积分光度： $L_{\text{tot}}(\text{disk}) = 2\pi h_R^2 I(0)$





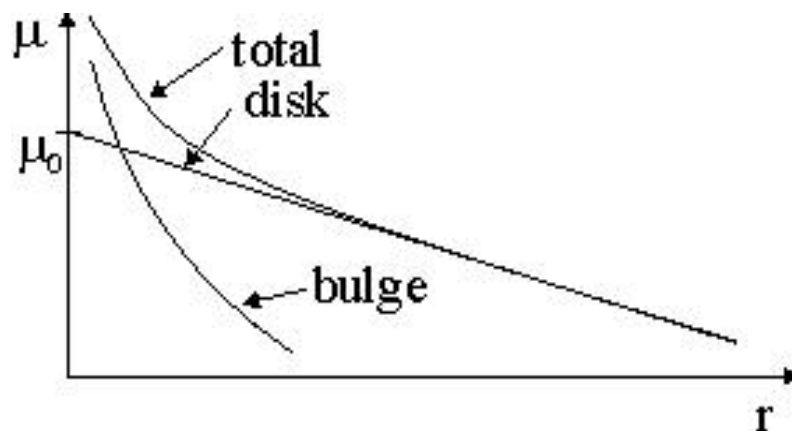
面亮度径向分布——核球

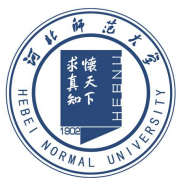
- 星系核球：来自星系中央核球的光，使得星系的面亮度 $I(R)$ 超过指数盘，可用 $R^{1/4}$ 律描述。

$$\begin{aligned} I(R) &= I(0) \exp\left(-7.67 (R/R_e)^{1/4}\right) \\ &= I(R_e) \exp\left(-7.67 \left[(R/R_e)^{1/4} - 1\right]\right) \end{aligned}$$

- R_e ，有效半径，包含星系光度1/2的区域大小； $I(0) = I(R_e) * e^{7.67} = 2140 I(R_e)$
- $R_e \sim 0.5 - 4 \text{ kpc}$ （早型盘星系的核球比晚型盘星系核球更大）

$$I(r) = I_e \exp\left[-b_n \left(\left(\frac{r}{r_e}\right)^{1/n_b} - 1\right)\right] + I_d \exp\left[\frac{r}{h}\right]$$





Bulge fraction B/T

- 盘星系总光度可分解为两部分：核球部分利用 $R^{\frac{1}{4}}$ 律拟合，盘部分利用指数函数拟合

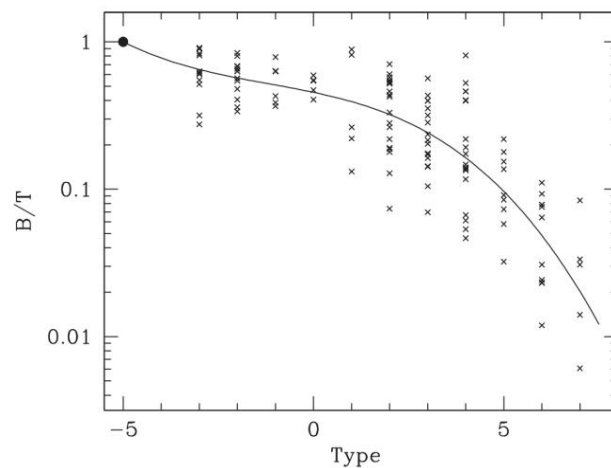
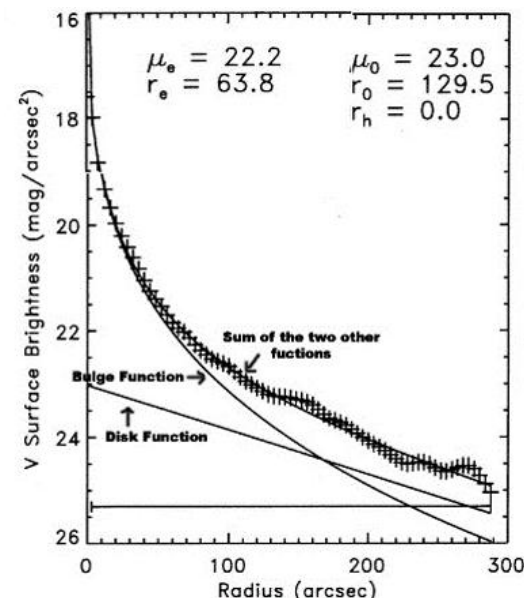
$$I(r) = I_e \exp \left[-b_n \left(\left(\frac{r}{r_e} \right)^{1/n_b} - 1 \right) \right] + I_d \exp \left[\frac{r}{h} \right]$$

- 核球对星系总光度的贡献记作B/T

- 盘和核球的光度比记作 $\gamma = D/B = \left(\frac{B}{T} \right)^{-1} - 1$

▶ Bulge/disk ratio

- ▶ **Sa** - tightly wound, large b/d ratio, some gas, steeply rising rotation curves
- ▶ **Sb** - intermediate
- ▶ **Sc** - open spiral arms, lots of substructure, small bulge, lots of gas, slowly rising rotation curves, lots of HII regions
- ▶ **Sd** - no bulge, open arms, lots of HII regions
- ▶ **Sm** - lopsided (like LMC)



星等 magnitudes

- 如果知道星系的面亮度分布 $I(R)$, 对面亮度积分(R from 0 to ∞), 即得星系总视星等

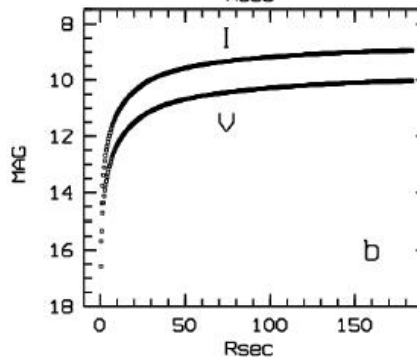
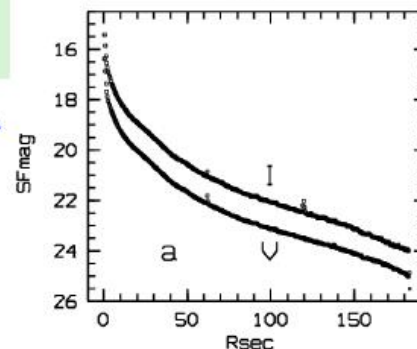
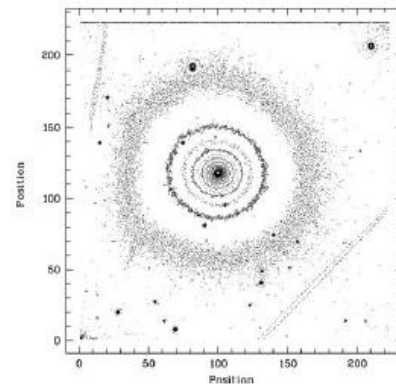
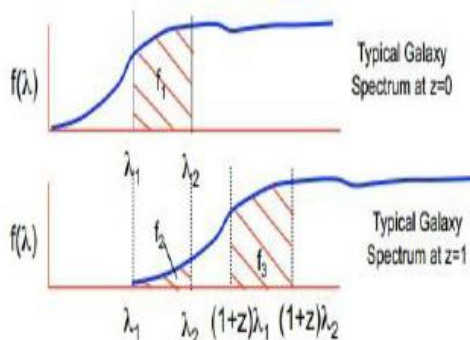
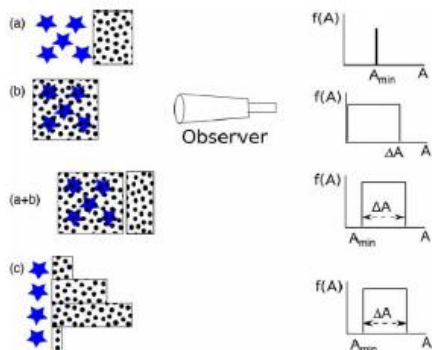
$$m_{\lambda} = \int I(R, \theta) dA \quad m_{\lambda} = 2\pi \int_0^{\infty} I(R) R dR$$

- B_T : B波段**观测**总星等; B_T^0 : B波段总星等, 校正了:

- 银河系**前景消光**影响, A_g
- 星系**内部消光**影响, A_i
- k-改正: **红移**使得星系光谱更蓝波段的光进入B波段滤光片, 与**红移大小**和**星系谱形状**有关

NGC 7331:

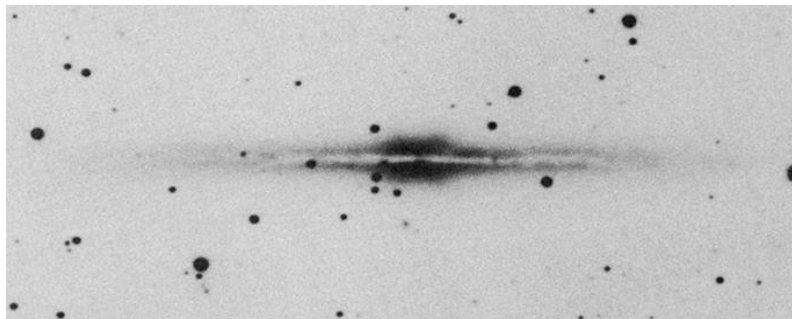
$B_T^0 = 9.37$, $V_T^0 = 8.75$



- 测量到某一半径处星系的星等: **孔径星等**

面亮度垂向分布

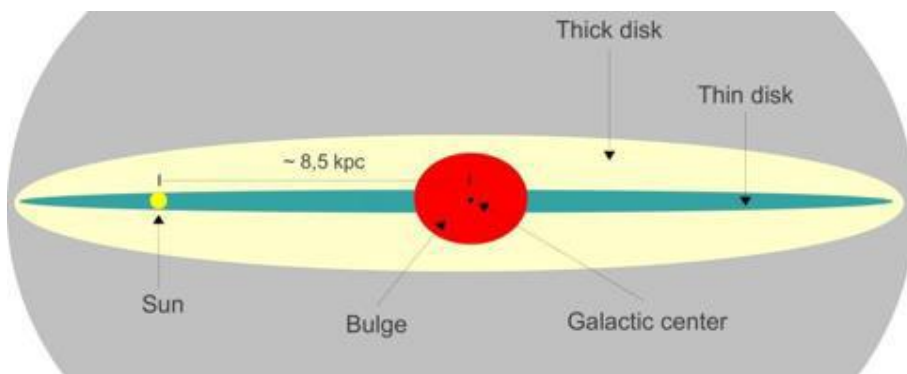
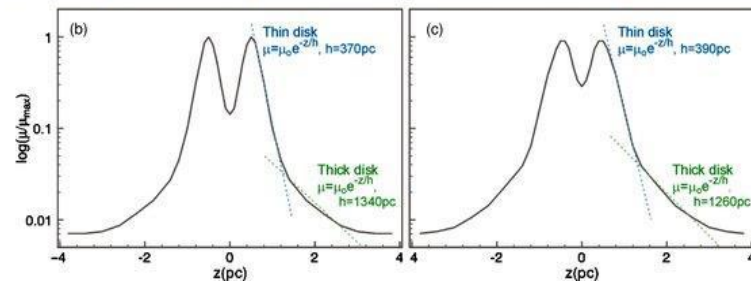
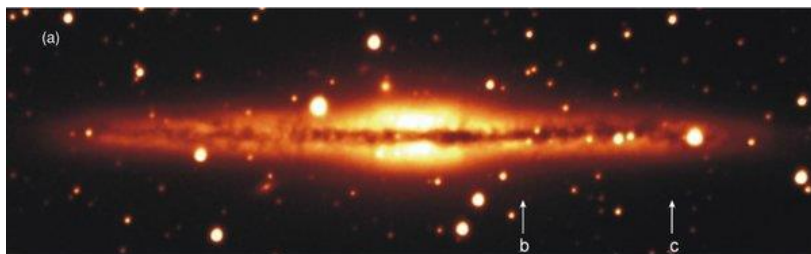
- 侧向盘星系的光学像中，盘的中部有一条薄的**暗尘带**：尘埃处于星系盘**中平面**附近，散射和吸收星光
- z 为离星系**中平面**的距离，则在尘埃带的上方和下方，为星系**薄盘和厚盘**

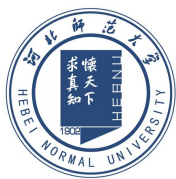


- 它们的面亮度分布，遵循**指数形式**：

$$I(R, z) = I(R) \exp(-|z|/h_z).$$

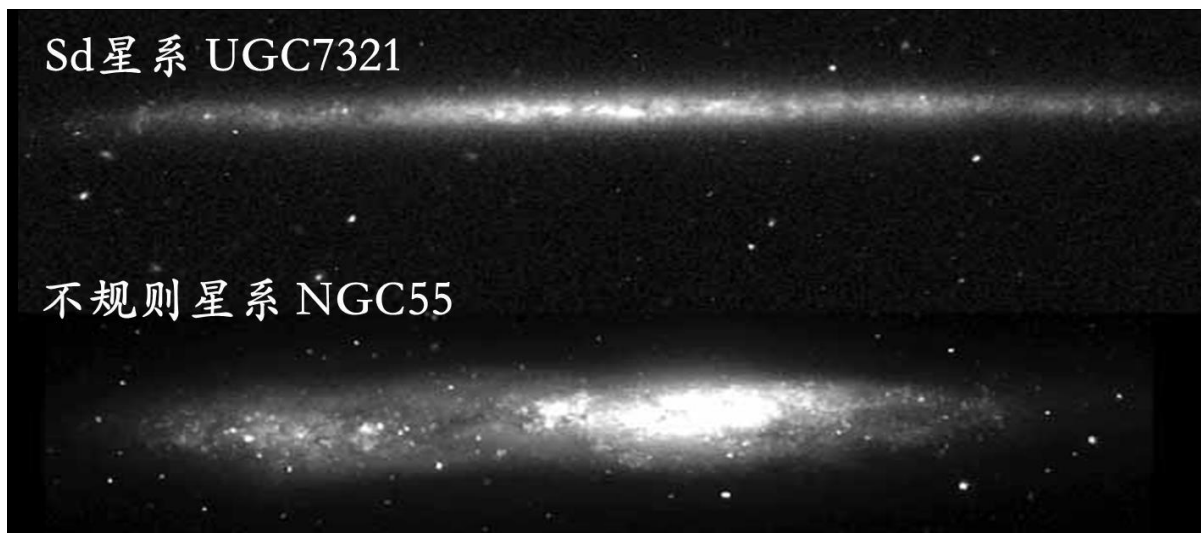
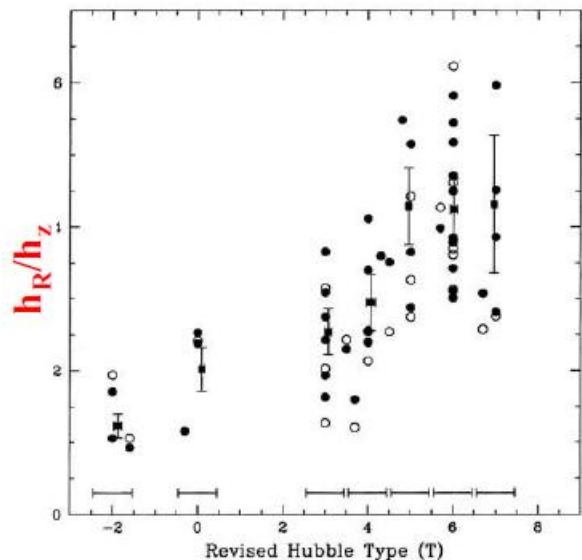
- h_z 称为盘的**标高**， $I(R, h_z) = I(R, 0)/e$
- **薄盘**区域亮度下降快，标高 h_z **小**
- **厚盘**区域亮度下降慢，标高 h_z **大**

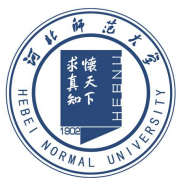




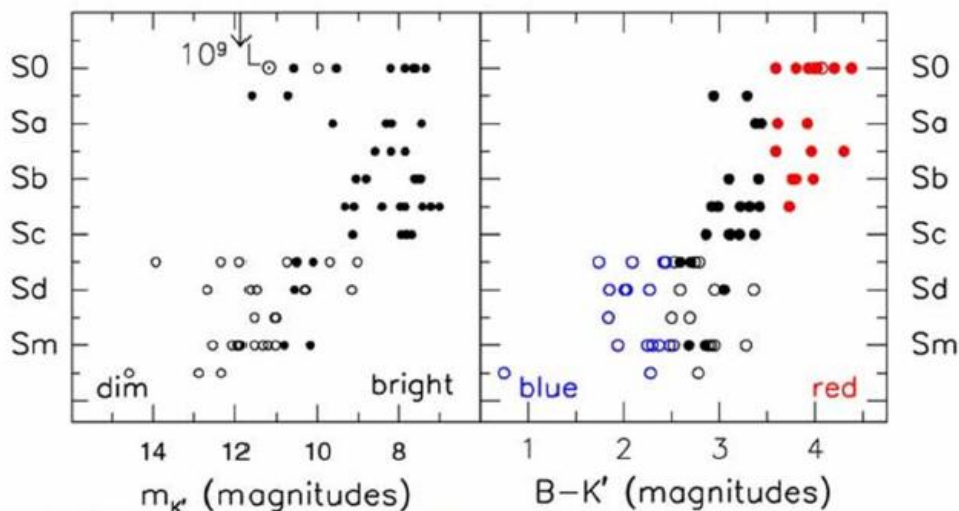
Vertical structure of disks

- h_R/h_z (标长/标高) 与星系形态、绝对光度、颜色和气体比例等有关：晚型、颜色蓝、气体丰富的暗旋涡星系的盘更薄
- 盘星系的大部分星光来自星系盘，且有 $h_z \ll h_R$ ：Sc、Sd星系扁平；而在Sm和不规则星系中，盘相当厚而松散



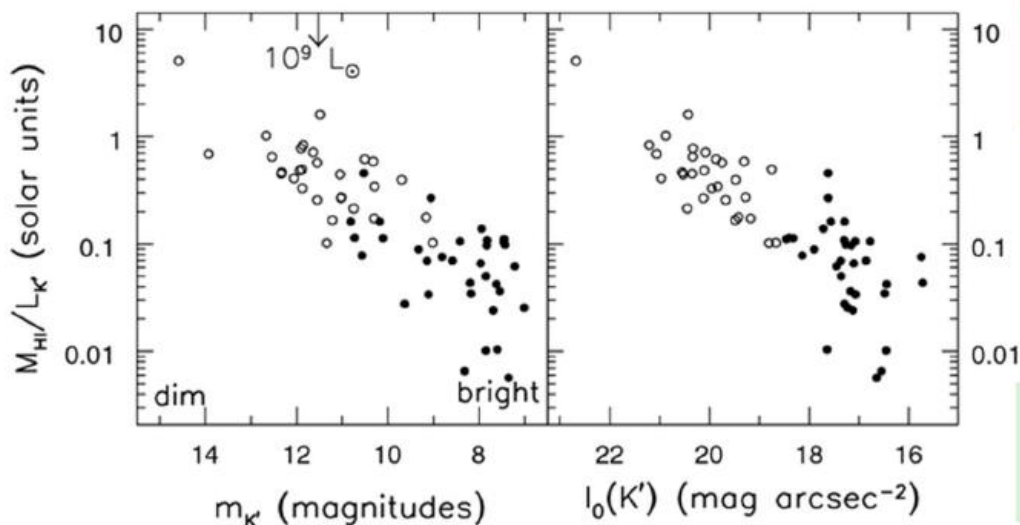


盘星系序列



大熊座星系群中星系视星等 m_K 和 $B-K'$ 颜色与星系形态关系

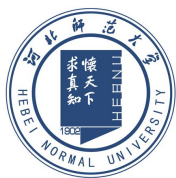
从Sa到Sd, 星系光度逐渐变暗, 颜色逐渐变蓝 (年轻恒星比例高)



大熊座星系群中星系的HI与星系的星等和中心面亮度关系

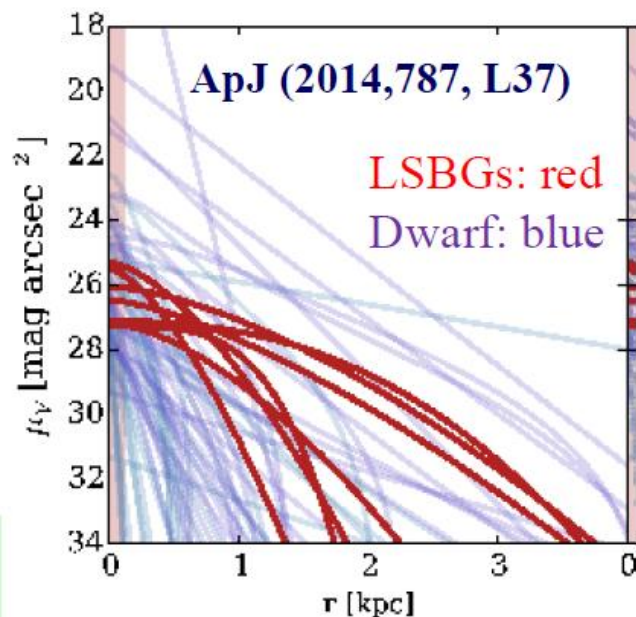
从Sa到Sd, 星系中心面亮度逐渐变暗; 星系中中性氢气体比例逐渐增加 (气体丰富)

LSBG: 低表面亮度星系 $I_0(K) > 19.5 \text{ mag/arcsec}^2$ (空圆圈)

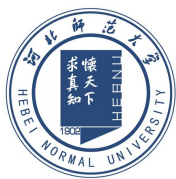


低面亮度星系

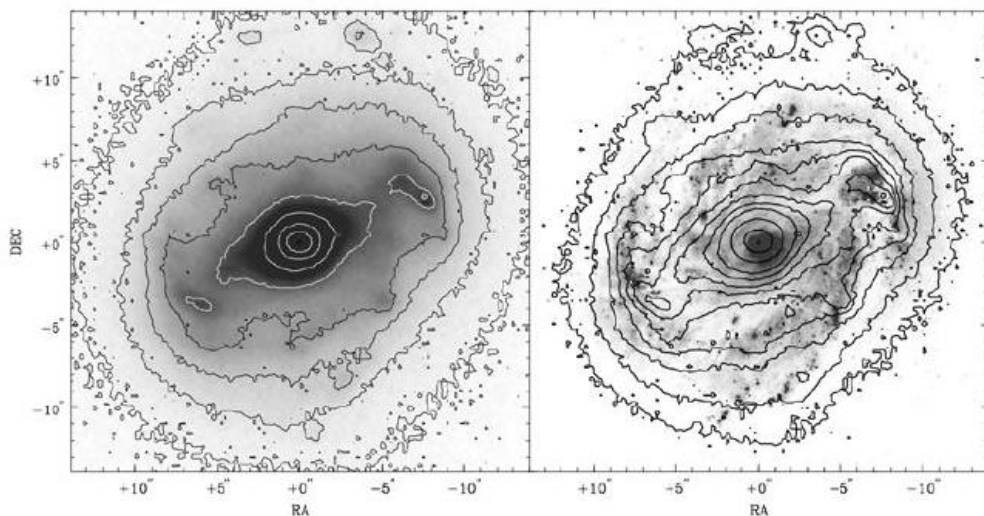
- ◆ Low Surface Brightness Galaxy (LSBG): 一般指中心面亮度暗于 $23 \text{ mag arcsec}^{-2}$ (B波段) 的星系
- ◆ Malin 1: 第一个被观测发现的 LSBG (1986)
 - ◆ 最大的 LSBGs, 直径 $D \sim 200 \text{ kpc}$ (MW 50kpc)
 - ◆ $I_B(0) \approx 25 \text{ mag/arcsec}^2$, 盘星系平均值为 22
- ◆ 多数 LSBGs 为矮星系。转动曲线显示 LSBGs 的质光比 M/L 大, 可能的解释有:
 - ◆ 恒星气体对星系质量贡献小, 暗物质比例大
 - ◆ 多为孤立星系: 没有和其它星系进行并合和相互作用, 恒星形成活动没有被触发
 - ◆ 重子物质以气体为主, 恒星少: 面亮度较暗



低面亮度星系的光度低, 内部HI气体比例高: LSBGs 与矮不规则星系类似, 将气体转变为恒星的效率较低



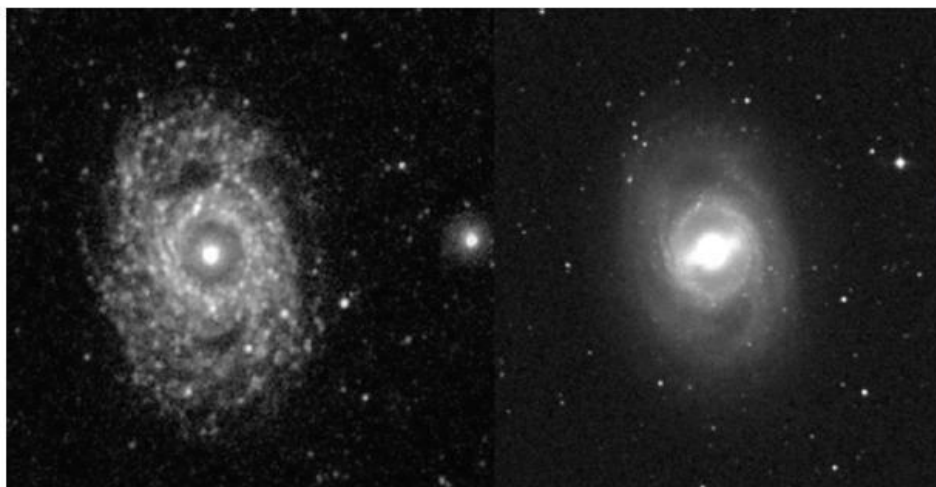
盘星系不同波段面亮度分布



左：星系M100的**K波段**图像和等照度线，存在一中央棒

右：年轻大质量星周围的**H α** 发射，叠加K波段等照度线

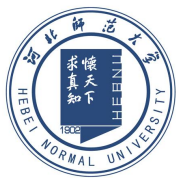
- ◆ 近红外：旋臂较平滑、不突出，年老恒星辐射为主
- ◆ 可见光：辐射来自较年轻的恒星，受尘埃影响严重



SBb型棒旋星系M95

左：紫外图像，看不见棒；恒星形成 \rightarrow 旋臂显示不连续

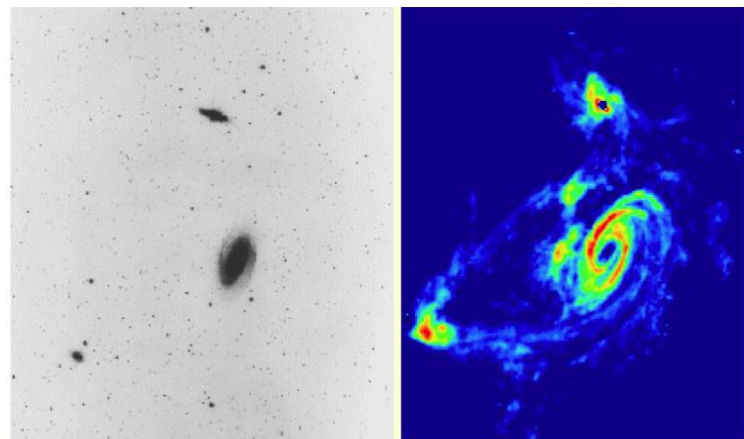
右：可见光波段，强的中央棒被环和光滑的旋臂围绕着



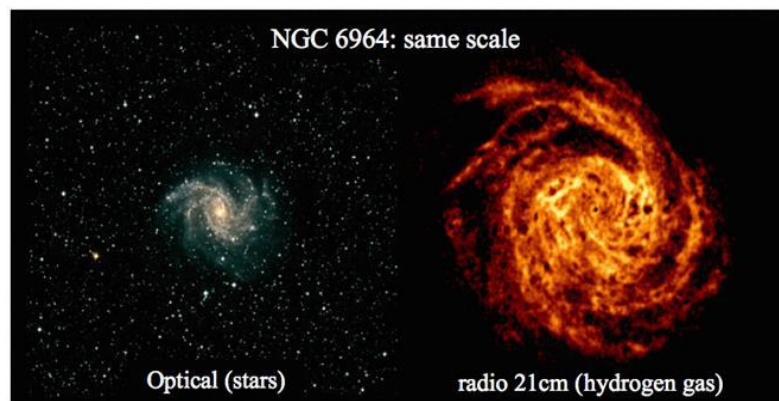
5.2 观测气体

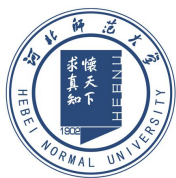
- 旋涡星系的气体主要位于**星系盘**上：冷的**原子氢**和**分子氢**，是制造恒星的原料
- 盘中气体**运动**，可以利用HI的21cm谱线多普勒移动，测量气体运动的**径向速度**
- 如冷气体被热星的紫外辐射或激波**电离**，可在光学波段看到**发射线**，例如**H α**
- 中性氢在星系中分布，比恒星盘更**延展**

HI as an Interaction Tracer



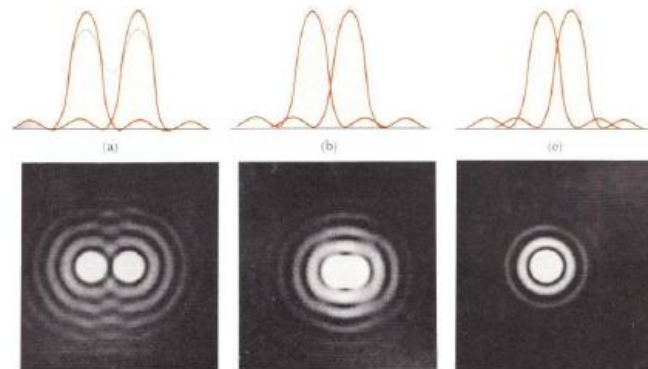
(Yun, Ho, & Lo 1993, Nature, 372, 530)





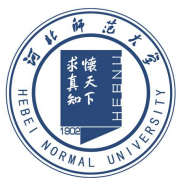
5.2.1 射电望远镜阵

- ◆ 望远镜**分辨率**：是指望远镜所能分辨的**最小**的视角。“分辨”的标准为**瑞利判据**。
- ◆ 瑞利判据：当一个艾里斑的**边缘**与另一个艾里斑的**中心**正好重合时，此时对应的两个物点**刚好**能被人眼或光学仪器所分辨
- ◆ 光学系统分辨率 $\theta = 1.22 \lambda/D$ (衍射极限)
 - ◆ θ 的单位是**弧度**； λ 是波长，单位m；
 - ◆ D 是望远镜**口径**，单位也是m。
 - ◆ 望远镜的分辨率与观测的**波长 λ** （频率）和望远镜**口径 D** 相关
 - ◆ 人眼 $D = 3\text{mm} = 0.003\text{m}$, $\lambda = 6000\text{\AA} = 6 \times 10^{-7}\text{m}$, $\theta = 2.44 \times 10^{-3}\text{弧度} \sim 1\text{角分}$
 - ◆ 地面10 cm米光学望远镜 $\theta = 1\text{ arcsec}$
 - ◆ HST ($D = 2.4\text{m}$) : $\theta = 0.05\text{ arcsec}$
 - ◆ 射电 $\lambda = 20\text{cm}$; $\theta = 1\text{ arcsec} \rightarrow D = 40\text{ km}$



瑞利判据

Telescope Resolution	
For any type of telescope, the maximum resolution is approximately:	
Resolution $\sim \frac{\lambda}{D}$ (radians)	
where λ = wavelength D = diameter of aperture	
Human eye ($\sim 3\text{ mm}$ aperture):	
$\frac{\lambda}{D} \sim 60\text{ arcsec} = 1.0\text{ arcminute}$	(Sun $\sim 30\text{ arcminutes}$)
4-inch Optical Telescope:	
$\frac{\lambda}{D} \sim 1.0\text{ arcsec}$	($\sim 2\text{ km}$ on Moon)
10-meter diameter Optical Telescope:	
$\frac{\lambda}{D} \sim 0.01\text{ arcsec}$	(but limited to $\sim 0.2\text{ arcsec}$ by atmos)
Hubble Telescope (2.4 meter diameter):	
$\frac{\lambda}{D} \sim 0.05\text{ arcsec}$	
37-meter (120 feet) diameter Radio Telescope at $\lambda=3\text{-mm}$:	
$\frac{\lambda}{D} \sim 18\text{ arcsec}$	(Jupiter $\sim 40\text{ arcsec}$)
35 km VLA at $\lambda=1.3\text{-cm}$:	
$\frac{\lambda}{D} \sim 0.1\text{ arcsec}$	(2 meters in San Francisco; 150 meters on Moon)
10,000 km VLBI at $\lambda=3\text{-mm}$:	
$\frac{\lambda}{D} \sim 0.00006\text{ arcsec}$	(1.5 mm in San Fran; 12 cm on Moon!)
70,000 km orbiting-VLBI at $\lambda=1\text{-cm}$:	
$\frac{\lambda}{D} \sim 0.00003\text{ arcsec}$	(0.7 mm in San Fran; 6 cm on Moon!)



综合孔径技术

- ◆ 射电波长大约是光学波长的 10^5 倍，要达到较高空间分辨率，需要增大望远镜**直径**
- ◆ 最大单面可移动射电望远镜（GBT，8500吨，140米高） **$D \sim 100\text{m}$** ；多数 **$D \sim n \times 10\text{m}$** ：单口径射电望远镜**分辨率低**
- ◆ **综合孔径技术**：将多个射电望远镜用电缆连接起来，观测相同的天区，再利用计算机**合成**，产生天区合成的图像（**综合**）
- ◆ 综合孔径射电望远镜：具有**高空间分辨率**、高灵敏度、能够成像、适合于探测**强度不变**的射电源。

